

Un auto-morphisme bidendriforme de WQSym

Séminaire DGeCo: Jussieu

Hugo Mlodecki

Directeurs:

Florent Hivert

Viviane Pons

17 Mars 2022

Exemples d'algèbres de Hopf

- Arbres binaires, **PBT**, Loday-Ronco
- Fonctions symétriques non-commutatives, **Sym**
- Fonctions quasi-symétriques, *QSym*
- Permutations, **FQSym**, Malvenuto-Reutenauer
- Mots tassés, **WQSym**, Hivert

Mots tassés

Définition

Un mot sur l'alphabet $\mathbb{N}_{>0}$ est dit **tassé** si toutes les lettres de 1 à son maximum m apparaissent au moins une fois.

Mots tassés

Définition

Un mot sur l'alphabet $\mathbb{N}_{>0}$ est dit **tassé** si toutes les lettres de 1 à son maximum m apparaissent au moins une fois.

Mots tassés de tailles 0, 1, 2 et 3

- ϵ

Mots tassés

Définition

Un mot sur l'alphabet $\mathbb{N}_{>0}$ est dit **tassé** si toutes les lettres de 1 à son maximum m apparaissent au moins une fois.

Mots tassés de tailles 0, 1, 2 et 3

- ϵ
- 1

Mots tassés

Définition

Un mot sur l'alphabet $\mathbb{N}_{>0}$ est dit **tassé** si toutes les lettres de 1 à son maximum m apparaissent au moins une fois.

Mots tassés de tailles 0, 1, 2 et 3

- ϵ
- 1
- 12 21 11

Mots tassés

Définition

Un mot sur l'alphabet $\mathbb{N}_{>0}$ est dit **tassé** si toutes les lettres de 1 à son maximum m apparaissent au moins une fois.

Mots tassés de tailles 0, 1, 2 et 3

- ϵ
- 1
- 12 21 11
- 123 132 213 231 312 321
122 212 221 112 121 211 111

Mots tassés

Définition

Un mot sur l'alphabet $\mathbb{N}_{>0}$ est dit **tassé** si toutes les lettres de 1 à son maximum m apparaissent au moins une fois.

Mots tassés de tailles 0, 1, 2 et 3

- ϵ
- 1
- 12 21 11
- 123 132 213 231 312 321
122 212 221 112 121 211 111

Mots tassés de taille n [OEIS A000670]

n	1	2	3	4	5	6	7	8
PW_n	1	3	13	75	541	4683	47293	545835

Tassement

Exemple

24154 \notin **PW**

Tassement

Exemple

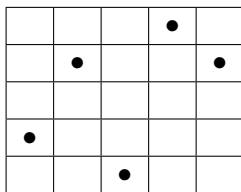
$24154 \notin \mathbf{PW}$ mais $pack(24154) = 23143 \in \mathbf{PW}$

Tassement

Exemple

$24154 \notin \mathbf{PW}$ mais $pack(24154) = 23143 \in \mathbf{PW}$

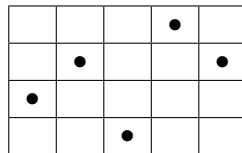
Une représentation : $\#lignes \leq \#colonnes$



2 4 1 5 4

retrait lignes vides

→ pack →



2 3 1 4 3

Algèbre de Hopf

Exemple

WQSym

- $3112 + 212 - 3 \cdot 212341 - \frac{5}{3} \cdot 111$

Algèbre de Hopf

Exemple

WQSym

- $\mathbb{R}_{3112} + \mathbb{R}_{212} - 3\mathbb{R}_{212341} - \frac{5}{3}\mathbb{R}_{111}$

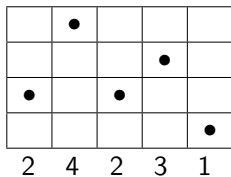
Algèbre de Hopf

Exemple

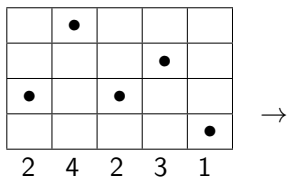
WQSym

- $\mathbb{R}_{3112} + \mathbb{R}_{212} - 3\mathbb{R}_{212341} - \frac{5}{3}\mathbb{R}_{111}$
 - $\mathbb{R}_{12}\mathbb{R}_{11} = \mathbb{R}_{1233} + \mathbb{R}_{1323} + \mathbb{R}_{1332} + \mathbb{R}_{3123} + \mathbb{R}_{3132} + \mathbb{R}_{3312}$
 - $\Delta(\mathbb{R}_{24231}) = \mathbb{R}_\epsilon \otimes \mathbb{R}_{24231} + \mathbb{R}_{121} \otimes \mathbb{R}_{21} + \mathbb{R}_{1312} \otimes \mathbb{R}_1 + \mathbb{R}_{24231} \otimes \mathbb{R}_\epsilon$
-
- Un produit associatif unitaire \cdot
 - Un coproduit coassociatif counitaire Δ
 - La relation de Hopf $\Delta(a \cdot b) = \Delta(a) \cdot \Delta(b)$

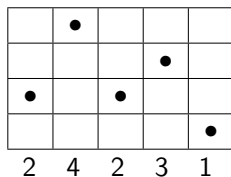
Déconcaténation réduite



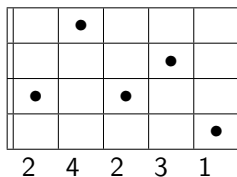
Déconcaténation réduite



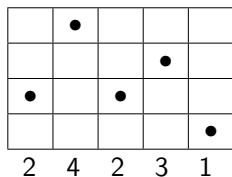
Déconcaténation réduite



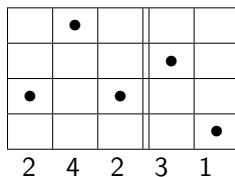
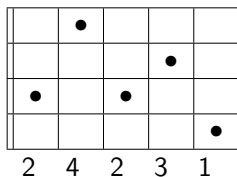
→



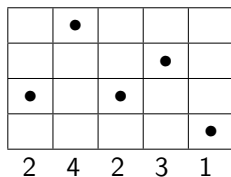
Déconcaténation réduite



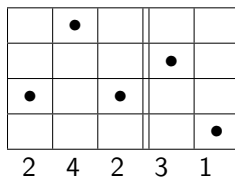
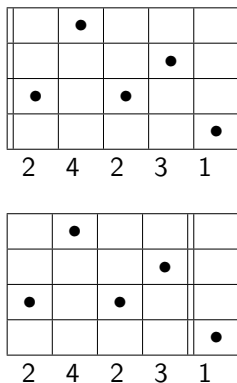
→



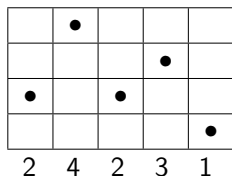
Déconcaténation réduite



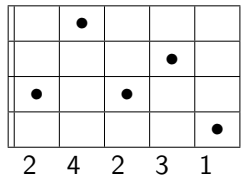
→



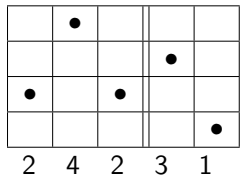
Déconcaténation réduite



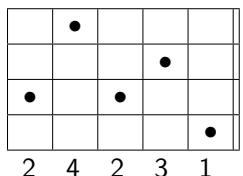
→



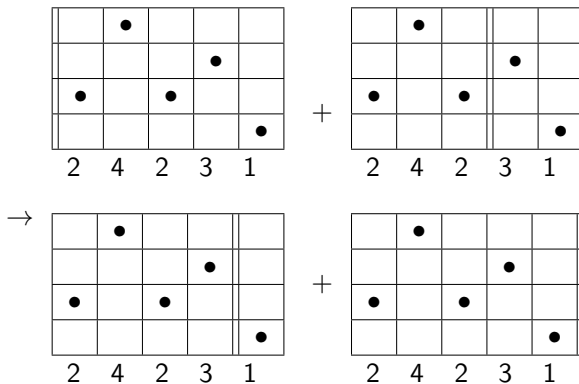
+



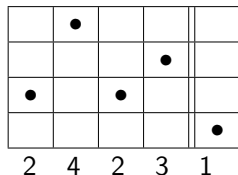
+



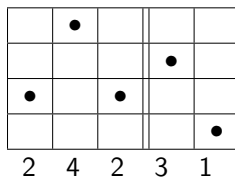
Déconcaténation réduite

 \mathbb{R}_{24231} 

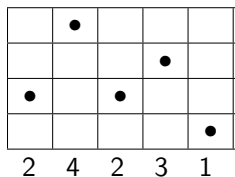
Déconcaténation réduite

 \mathbb{R}_{24231}
 Δ
 \rightarrow

 $\mathbb{R}_\epsilon \otimes \mathbb{R}_{24231}$

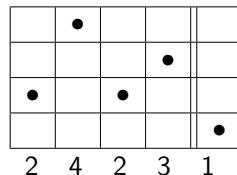
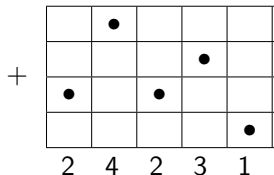
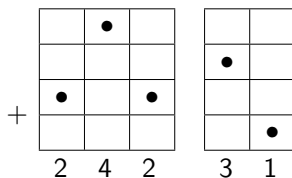
+



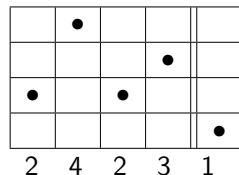
+



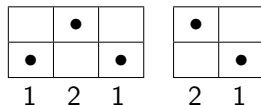
Déconcaténation réduite

 \mathbb{R}_{24231} Δ
 \rightarrow  $\mathbb{R}_\epsilon \otimes \mathbb{R}_{24231}$ 

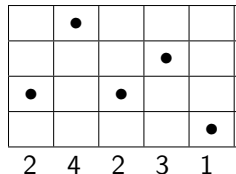
Déconcaténation réduite

 \mathbb{R}_{24231} Δ
 \rightarrow  $\mathbb{R}_\epsilon \otimes \mathbb{R}_{24231}$

+

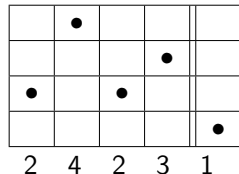


+

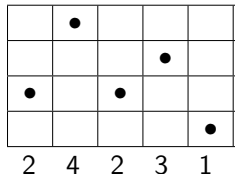


Déconcaténation réduite

$$\mathbb{R}_\epsilon \otimes \mathbb{R}_{24231} + \mathbb{R}_{121} \otimes \mathbb{R}_{21}$$

 \mathbb{R}_{24231}
 Δ
 \rightarrow


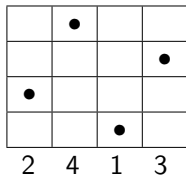
+



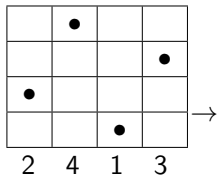
Déconcaténation réduite

$$\begin{array}{ccc}
 & & \mathbb{R}_\epsilon \otimes \mathbb{R}_{24231} \quad + \quad \mathbb{R}_{121} \otimes \mathbb{R}_{21} \\
 & & \Delta \\
 \mathbb{R}_{24231} & \rightarrow & \\
 & & \mathbb{R}_{1312} \otimes \mathbb{R}_1 \quad + \quad \mathbb{R}_{24231} \otimes \mathbb{R}_\epsilon
 \end{array}$$

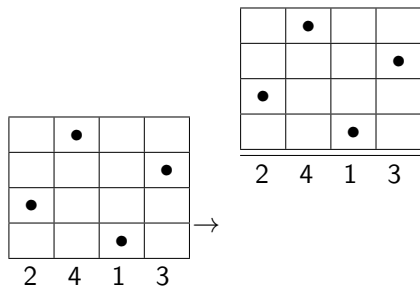
Désassemblage horizontal



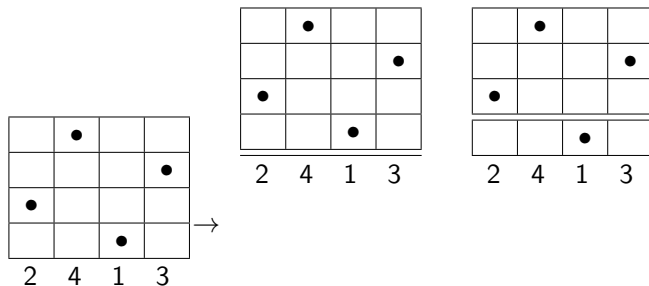
Désassemblage horizontal



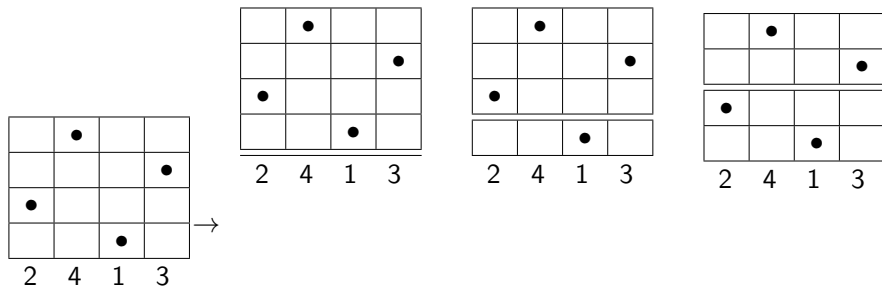
Désassemblage horizontal



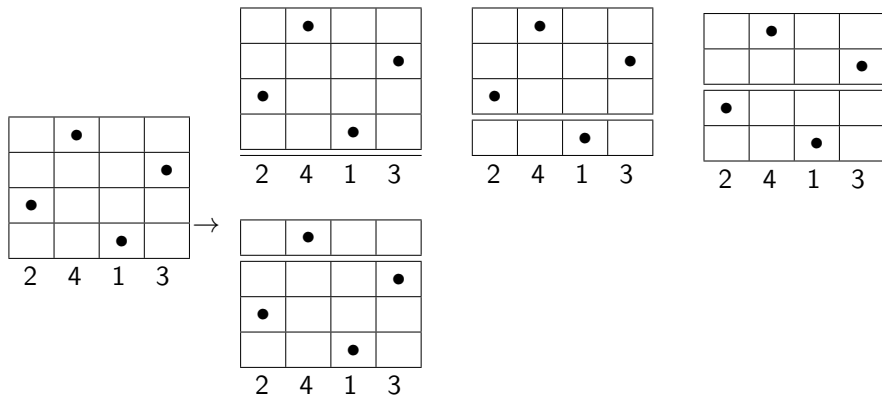
Désassemblage horizontal



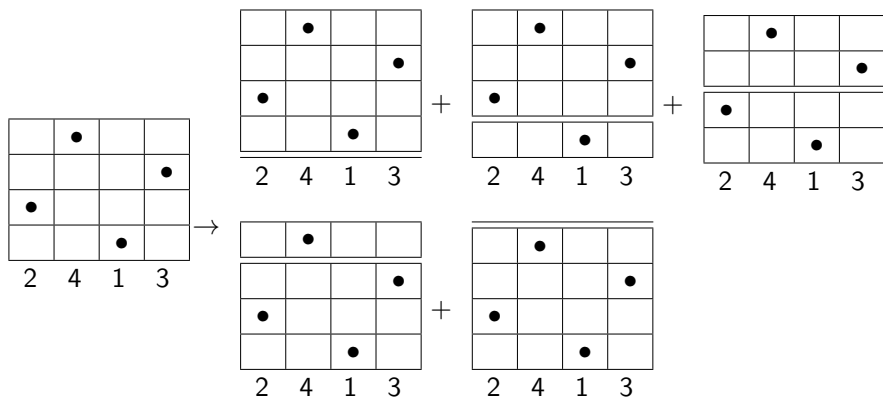
Désassemblage horizontal



Désassemblage horizontal



Désassemblage horizontal



Désassemblage horizontal

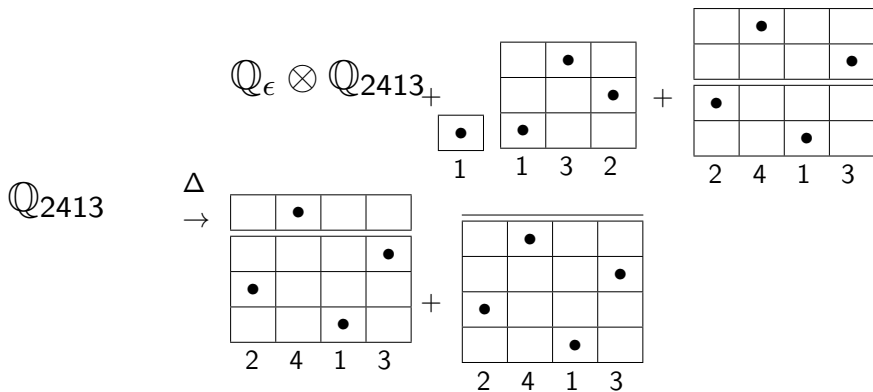
$$\mathbb{Q}_{2413} \xrightarrow{\Delta} \mathbb{Q}_\epsilon \otimes \mathbb{Q}_{2413}_+$$

The diagram illustrates the horizontal decomposition of the coproduct of the permutation 2413. On the left, the permutation \mathbb{Q}_{2413} is shown as a 3x4 grid with dots at (1,2), (2,4), and (3,3). An arrow labeled Δ points to a sum of two 3x4 grids. The first grid has dots at (1,2), (2,4), and (3,3). The second grid has dots at (1,4), (2,2), and (3,3). Below these grids are the permutations 2 4 1 3 and 2 4 1 3. To the right, the tensor product $\mathbb{Q}_\epsilon \otimes \mathbb{Q}_{2413}_+$ is shown as a sum of two 4x4 grids. The first grid has dots at (1,2), (2,4), and (3,3). The second grid has dots at (1,4), (2,2), and (3,3). Below these grids are the permutations 2 4 1 3 and 2 4 1 3.

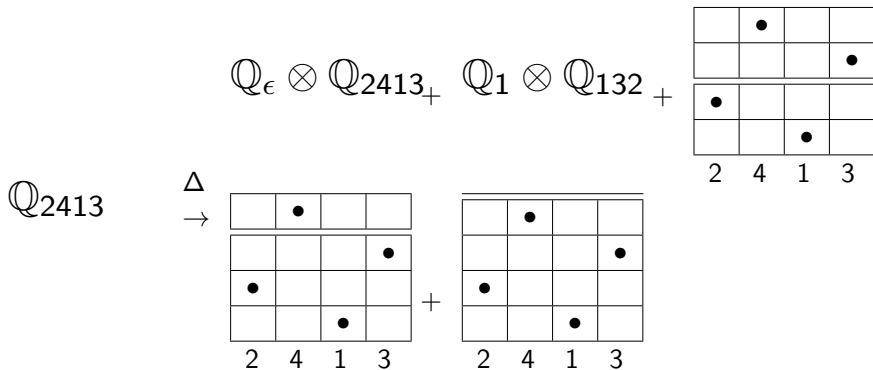
Désassemblage horizontal

$$\begin{array}{c}
 \mathbb{Q}_{2413} \\
 \Delta \\
 \rightarrow
 \end{array}
 \begin{array}{c}
 \begin{array}{|c|c|c|c|}
 \hline
 & \bullet & & \\
 \hline
 & & & \bullet \\
 \hline
 \bullet & & & \\
 \hline
 & & \bullet & \\
 \hline
 2 & 4 & 1 & 3
 \end{array}
 +
 \begin{array}{|c|c|c|c|}
 \hline
 & \bullet & & \\
 \hline
 & & & \bullet \\
 \hline
 \bullet & & & \\
 \hline
 & & \bullet & \\
 \hline
 2 & 4 & 1 & 3
 \end{array}
 \end{array}
 +
 \begin{array}{c}
 \mathbb{Q}_\epsilon \otimes \mathbb{Q}_{2413}_+ \\
 \begin{array}{|c|c|c|c|}
 \hline
 & \bullet & & \\
 \hline
 & & & \bullet \\
 \hline
 \bullet & & & \\
 \hline
 & & & \\
 \hline
 1 & 3 & & 2
 \end{array}
 +
 \begin{array}{|c|c|c|c|}
 \hline
 & \bullet & & \\
 \hline
 & & & \bullet \\
 \hline
 \bullet & & & \\
 \hline
 & & \bullet & \\
 \hline
 2 & 4 & 1 & 3
 \end{array}
 \end{array}
 \begin{array}{|c|c|c|c|}
 \hline
 & & \bullet & \\
 \hline
 & & & \\
 \hline
 & & & \bullet \\
 \hline
 & & & \\
 \hline
 & & & 1
 \end{array}
 \end{array}$$

Désassemblage horizontal



Désassemblage horizontal



Désassemblage horizontal

$$\mathbb{Q}_\epsilon \otimes \mathbb{Q}_{2413} + \mathbb{Q}_1 \otimes \mathbb{Q}_{132} + \mathbb{Q}_{21} \otimes \mathbb{Q}_{21}$$

$$\mathbb{Q}_{2413} \xrightarrow{\Delta}$$

$$\mathbb{Q}_{213} \otimes \mathbb{Q}_1 + \mathbb{Q}_{2413} \otimes \mathbb{Q}_\epsilon$$

Auto-dualité

- \mathbb{R} et \mathbb{Q} bases de \mathbf{WQSym}^* et \mathbf{WQSym}

Auto-dualité

- \mathbb{R} et \mathbb{Q} bases de \mathbf{WQSym}^* et \mathbf{WQSym}
- 2001 Duchanp-Hivert-Thibon conjecturent l'auto-dualité de \mathbf{WQSym}

Auto-dualité

- \mathbb{R} et \mathbb{Q} bases de \mathbf{WQSym}^* et \mathbf{WQSym}
- 2001 Duchanp-Hivert-Thibon conjecturent l'auto-dualité de \mathbf{WQSym}
- 2005 Foissy démontre l'auto-dualité des bigèbre bidendriforme (rigidité)

Auto-dualité

- \mathbb{R} et \mathbb{Q} bases de **WQSym**^{*} et **WQSym**
- 2001 Duchanp-Hivert-Thibon conjecturent l'auto-dualité de **WQSym**
- 2005 Foissy démontre l'auto-dualité des bigèbre bidendriforme (rigidité)
- Pas d'isomorphisme explicite

Demis coproduits

Exemple de coproduits gauche et droit

- $\tilde{\Delta}(\mathbb{Q}_{12536434}) = \mathbb{Q}_1 \otimes \mathbb{Q}_{1425323} + \mathbb{Q}_{12} \otimes \mathbb{Q}_{314212} + \mathbb{Q}_{1233} \otimes \mathbb{Q}_{2311}$
 $+ \mathbb{Q}_{123434} \otimes \mathbb{Q}_{12} + \mathbb{Q}_{1253434} \otimes \mathbb{Q}_1$

Demis coproduits

Exemple de coproduits gauche et droit

- $\tilde{\Delta}(\mathbb{Q}_{12536434}) = \mathbb{Q}_1 \otimes \mathbb{Q}_{1425323} + \mathbb{Q}_{12} \otimes \mathbb{Q}_{314212} + \mathbb{Q}_{1233} \otimes \mathbb{Q}_{2311} + \mathbb{Q}_{123434} \otimes \mathbb{Q}_{12} + \mathbb{Q}_{1253434} \otimes \mathbb{Q}_1$
- $\Delta_{\succeq}(\mathbb{Q}_{12536434}) = \mathbb{Q}_1 \otimes \mathbb{Q}_{1425323} + \mathbb{Q}_{12} \otimes \mathbb{Q}_{314212} + \mathbb{Q}_{1233} \otimes \mathbb{Q}_{2311},$
- $\Delta_{\preceq}(\mathbb{Q}_{12536434}) = \mathbb{Q}_{123434} \otimes \mathbb{Q}_{12} + \mathbb{Q}_{1253434} \otimes \mathbb{Q}_1.$

Demis coproduits

Définitions

- $\Delta_{\succeq}(Q_u) := \sum_{i=1}^{u_n-1} Q_{u|_{\leq i}} \otimes Q_{\text{pack}(u|_{> i})}$,
- $\Delta_{\preceq}(Q_u) := \sum_{i=u_n}^{\max(u)-1} Q_{u|_{\leq i}} \otimes Q_{\text{pack}(u|_{> i})}$.

Exemple de coproduits gauche et droit

- $\tilde{\Delta}(Q_{12536434}) = Q_1 \otimes Q_{1425323} + Q_{12} \otimes Q_{314212} + Q_{1233} \otimes Q_{2311} + Q_{123434} \otimes Q_{12} + Q_{1253434} \otimes Q_1$
- $\Delta_{\succeq}(Q_{12536434}) = Q_1 \otimes Q_{1425323} + Q_{12} \otimes Q_{314212} + Q_{1233} \otimes Q_{2311}$,
- $\Delta_{\preceq}(Q_{12536434}) = Q_{123434} \otimes Q_{12} + Q_{1253434} \otimes Q_1$.

Bigèbre bidendriforme

Définition

- Raffinement de l'associativité et la coassociativité
 - 3 et 3 équations
- Raffinement de la relation de Hopf
 - 4 équations

Bigèbre bidendriforme

$$\begin{aligned}(a \succ b) \succ c &= a \succ (b \succ c + b \succ c), \\(a \succ b) \succ c &= a \succ (b \succ c), \\(a \succ b + a \succ b) \succ c &= a \succ (b \succ c).\end{aligned}$$

$$\begin{aligned}(\Delta_{\succ} \otimes \text{Id}) \circ \Delta_{\succ}(a) &= (\text{Id} \otimes \Delta_{\succ} + \text{Id} \otimes \Delta_{\succ}) \circ \Delta_{\succ}(a), \\(\Delta_{\succ} \otimes \text{Id}) \circ \Delta_{\succ}(a) &= (\text{Id} \otimes \Delta_{\succ}) \circ \Delta_{\succ}(a), \\(\Delta_{\succ} \otimes \text{Id} + \Delta_{\succ} \otimes \text{Id}) \circ \Delta_{\succ}(a) &= (\text{Id} \otimes \Delta_{\succ}) \circ \Delta_{\succ}(a).\end{aligned}$$

$$\begin{aligned}\Delta_{\succ}(a \succ b) &= a' b'_{\succ} \otimes a'' \succ b''_{\succ} + b'_{\succ} \otimes a \succ b''_{\succ} + a b'_{\succ} \otimes b''_{\succ} + a' \otimes a'' \succ b + a \otimes b, \\ \Delta_{\succ}(a \prec b) &= a' b'_{\succ} \otimes a'' \prec b''_{\succ} + b'_{\succ} \otimes a \prec b''_{\succ} + a' \otimes a'' \prec b, \\ \Delta_{\prec}(a \succ b) &= a' b'_{\prec} \otimes a'' \succ b''_{\prec} + b'_{\prec} \otimes a \succ b''_{\prec} + a b'_{\prec} \otimes b''_{\prec}, \\ \Delta_{\prec}(a \prec b) &= a' b'_{\prec} \otimes a'' \prec b''_{\prec} + b'_{\prec} \otimes a \prec b''_{\prec} + a' b \otimes a'' + b \otimes a.\end{aligned}$$

Bigèbre bidendriforme

Définition

- Raffinement de l'associativité et la coassociativité
 - 3 et 3 équations
- Raffinement de la relation de Hopf
 - 4 équations

Théorème [Foissy]

Si A est une bigèbre bidendriforme alors A est généré librement par $\text{TPrim}(A)$ en tant qu'algèbre dendriforme.

Bigèbre bidendriforme

Définition

- Raffinement de l'associativité et la coassociativité
 - 3 et 3 équations
- Raffinement de la relation de Hopf
 - 4 équations

Théorème [Foissy]

Si A est une bigèbre bidendriforme alors A est généré librement par $\text{TPrim}(A)$ en tant qu'algèbre dendriforme.

Séries

n	1	2	3	4	5	6	7	8
WQSym_n	1	3	13	75	541	4 683	47 293	545 835
TPrim _n	1	1	4	28	240	2 384	26 832	337 168

Bigèbre bidendriforme

Définition

- Raffinement de l'associativité et la coassociativité
 - 3 et 3 équations
- Raffinement de la relation de Hopf
 - 4 équations

Théorème [Foissy]

Si A est une bigèbre bidendriforme alors A est généré librement par $\text{TPrim}(A)$ en tant qu'algèbre dendriforme.

Corollaire

WQSym est auto-duale.

Définitions

Élément primitif

P est un éléments primitif $\iff \tilde{\Delta}(P) = 0$

Ex : $\mathbb{R}_{1213} - \mathbb{R}_{2321}$

Définitions

Élément primitif

P est un éléments primitif $\iff \tilde{\Delta}(P) = 0$

Ex : $\mathbb{R}_{1213} - \mathbb{R}_{2321}$

$$\tilde{\Delta}(\mathbb{R}_{1213}) = \Delta_{\succ}(\mathbb{R}_{1213}) = \mathbb{R}_{121} \otimes \mathbb{R}_1$$

$$\tilde{\Delta}(\mathbb{R}_{2321}) = \Delta_{\prec}(\mathbb{R}_{2321}) = \mathbb{R}_{121} \otimes \mathbb{R}_1$$

Définitions

Élément primitif

P est un éléments primitif $\iff \tilde{\Delta}(P) = 0$

Ex : $\mathbb{R}_{1213} - \mathbb{R}_{2321}$

$$\tilde{\Delta}(\mathbb{R}_{1213}) = \Delta_{\succ}(\mathbb{R}_{1213}) = \mathbb{R}_{121} \otimes \mathbb{R}_1$$

$$\tilde{\Delta}(\mathbb{R}_{2321}) = \Delta_{\prec}(\mathbb{R}_{2321}) = \mathbb{R}_{121} \otimes \mathbb{R}_1$$

Élément totalement primitif

P est une élément totalement primitif $\iff \Delta_{\prec}(P) = \Delta_{\succ}(P) = 0$

Ex : $\mathbb{R}_{12443} - \mathbb{R}_{21443} - \mathbb{R}_{23441} + \mathbb{R}_{32441}$

Définitions

Élément primitif

P est un éléments primitif $\iff \tilde{\Delta}(P) = 0$

Ex : $\mathbb{R}_{1213} - \mathbb{R}_{2321}$

$$\tilde{\Delta}(\mathbb{R}_{1213}) = \Delta_{\succ}(\mathbb{R}_{1213}) = \mathbb{R}_{121} \otimes \mathbb{R}_1$$

$$\tilde{\Delta}(\mathbb{R}_{2321}) = \Delta_{\prec}(\mathbb{R}_{2321}) = \mathbb{R}_{121} \otimes \mathbb{R}_1$$

Élément totalement primitif

P est une élément totalement primitif $\iff \Delta_{\prec}(P) = \Delta_{\succ}(P) = 0$

Ex : $\mathbb{R}_{12443} - \mathbb{R}_{21443} - \mathbb{R}_{23441} + \mathbb{R}_{32441}$

$$\tilde{\Delta}(\mathbb{R}_{12443}) = \mathbb{R}_{1233} \otimes \mathbb{R}_1 \quad \mathbb{R}_{12} \otimes \mathbb{R}_{221} + \mathbb{R}_1 \otimes \mathbb{R}_{1332}$$

$$\tilde{\Delta}(\mathbb{R}_{21443}) = \mathbb{R}_{2133} \otimes \mathbb{R}_1 \quad \mathbb{R}_{21} \otimes \mathbb{R}_{221} + \mathbb{R}_1 \otimes \mathbb{R}_{1332}$$

$$\tilde{\Delta}(\mathbb{R}_{23441}) = \mathbb{R}_{1233} \otimes \mathbb{R}_1 \quad \mathbb{R}_{12} \otimes \mathbb{R}_{221} + \mathbb{R}_1 \otimes \mathbb{R}_{2331}$$

$$\tilde{\Delta}(\mathbb{R}_{32441}) = \mathbb{R}_{2133} \otimes \mathbb{R}_1 \quad \mathbb{R}_{21} \otimes \mathbb{R}_{221} + \mathbb{R}_1 \otimes \mathbb{R}_{2331}$$

Mon but

Isomorphisme bidendriforme explicite entre **WQSym** et sa duale

Mon but

Isomorphisme bidendriforme explicite entre **WQSym** et sa duale



Isomorphisme explicite entre $\text{TPrim}(\mathbf{WQSym})$ et le dual

Mon but

Isomorphisme bidendriforme explicite entre **WQSym** et sa duale

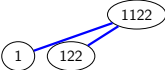
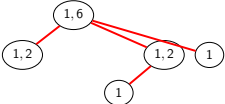
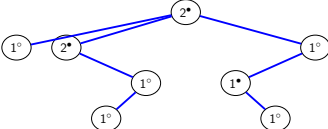
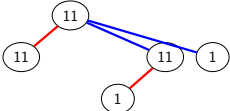
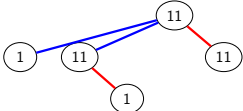


Isomorphisme explicite entre $\text{TPrim}(\mathbf{WQSym})$ et le dual

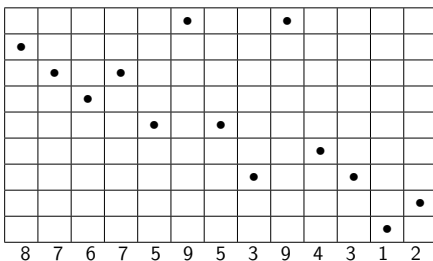
Construction de deux bases de totalement primitif
(dans **WQSym** et **WQSym**^{*})

Forêts biplanes, représentation de décompositions

44523315

	Squelettes	
	Arbres tassés	
	Arbres bicolores	

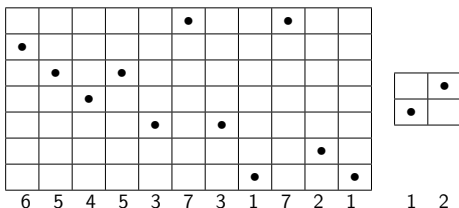
Squelette rouge de 8767595394312

 $F_{R_{\text{ske}}}(8767595394312)$ 

Squelette rouge de 8767595394312

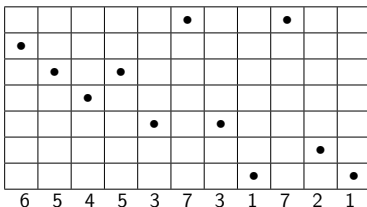
$$F_{\text{Rske}}(8767595394312) = \\ T_{\text{Rske}}(65453731721) T_{\text{Rske}}(12)$$

Factorisation en descentes globales
+ tassement



Squelette rouge de 8767595394312

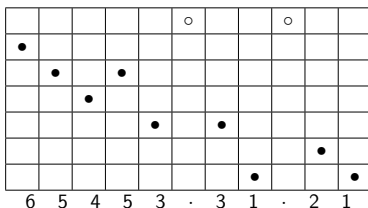
$$F_{\text{Rske}}(8767595394312) = \\ T_{\text{Rske}}(65453731721) T_{\text{Rske}}(12)$$



Squelette rouge de 8767595394312

$$F_{R_{\text{ske}}}(8767595394312) = \\ T_{R_{\text{ske}}}(65453731721) T_{R_{\text{ske}}}(12)$$

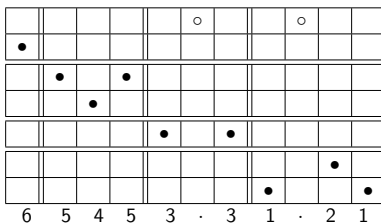
Retrait des lettres de valeur max



Squelette rouge de 8767595394312

$$F_{\text{Rske}}(8767595394312) = \\ T_{\text{Rske}}(65453731721) T_{\text{Rske}}(12)$$

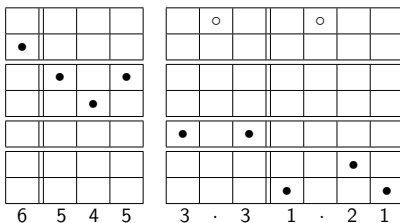
Factorisation en descentes globales



Squelette rouge de 8767595394312

$$F_{R_{ske}}(8767595394312) = \\ T_{R_{ske}}(65453731721) T_{R_{ske}}(12)$$

Distinction de deux groupes de facteurs

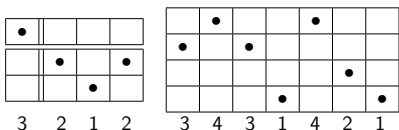


Squelette rouge de 8767595394312

$$F_{R_{\text{ske}}}(8767595394312) =$$

$$T_{R_{\text{ske}}}(65453731721) T_{R_{\text{ske}}}(12)$$

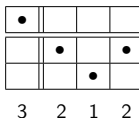
Remise des lettres de valeur max + tassement



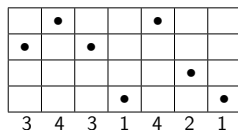
Squelette rouge de 8767595394312

$$F_{R_{\text{ske}}}(8767595394312) = T_{R_{\text{ske}}}(65453731721) T_{R_{\text{ske}}}(12) =$$

$$F_{\text{ske}}(3212) \quad \text{3431421} \quad T_{R_{\text{ske}}}(12)$$



3431421 est
Irréductible rouge



Irréductible rouge

Un mot tassé w est **rouge irréductible** si il n'est pas décomposable par cet algorithme.

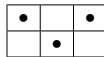
Squelette rouge de 8767595394312

$$F_{R_{ske}}(8767595394312) = \text{On boucle}$$

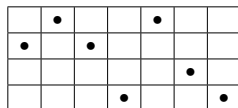
$$T_{R_{ske}}(65453731721) T_{R_{ske}}(12) =$$


$$T_{R_{ske}}(12)$$


1



2 1 2



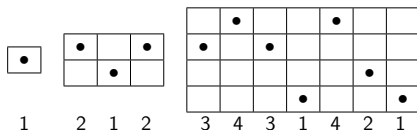
3 4 3 1 4 2 1

Irréductible rouge

Un mot tassé w est **rouge irréductible** si il n'est pas décomposable par cet algorithme.

Squelette rouge de 8767595394312

$$F_{\text{Rske}}(8767595394312) = ((1/212) \blacktriangleright 3431421) / (1 \blacktriangleright 1)$$



Irréductible rouge

Un mot tassé w est **rouge irréductible** si il n'est pas décomposable par cet algorithme.

$$\forall n, \text{RougeIrréductible}_n = \text{TPrim}_n.$$

Le début de la base \mathbb{P}

$$\mathbb{P}_{\circledast 1} := \mathbb{R}_1,$$

$$\mathbb{P}_{t_1, \dots, t_k} := (\dots (\mathbb{P}_{t_k} \prec \dots) \prec \mathbb{P}_{t_2}) \prec \mathbb{P}_{t_1},$$

$$\mathbb{P} := \langle \mathbb{P}_{\ell_1}, \mathbb{P}_{\ell_2}, \dots, \mathbb{P}_{\ell_g}; \mathbb{P}_{T(w)} \rangle.$$

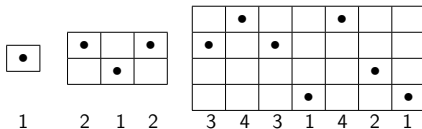
The diagram illustrates a node v (circled) in a tree structure. Below the root node, a bracket indicates the set $F_{Rske}(u)$, which includes nodes ℓ_1, \dots, ℓ_g . Red lines connect the root node to its children.

Forêt rouge de 8767595394312

$$F_{\mathbb{R}}(8767595394312) =$$



La partie droite!

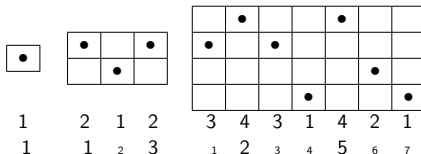


Forêt rouge de 8767595394312

$$F_{\mathbb{R}}(8767595394312) =$$

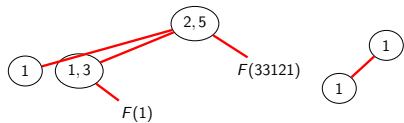


Positions des max

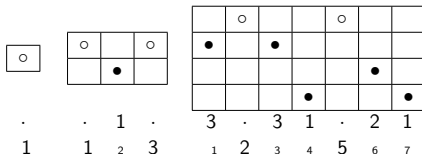


Forêt rouge de 8767595394312

$$F_R(8767595394312) =$$

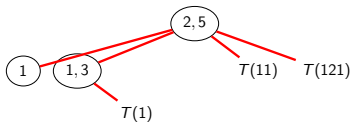


Fils droits

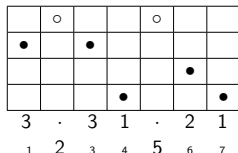
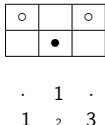
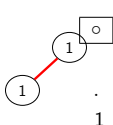


Forêt rouge de 8767595394312

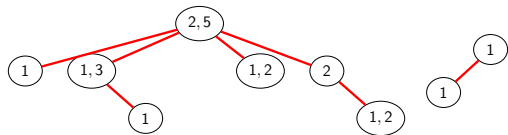
$$F_{\mathbb{R}}(8767595394312) =$$



On reboucle



Forêt rouge de 8767595394312

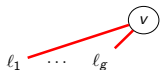
$$F_{\mathbb{R}}(8767595394312) =$$


La base \mathbb{P}

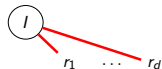
$$\mathbb{P}_{\textcircled{1}} := \mathbb{R}_1,$$

$$\mathbb{P}_{t_1, \dots, t_k} := (\dots (\mathbb{P}_{t_k} \prec \dots) \prec \mathbb{P}_{t_2}) \prec \mathbb{P}_{t_1},$$

$$\mathbb{P} := \langle \mathbb{P}_{\ell_1}, \mathbb{P}_{\ell_2}, \dots, \mathbb{P}_{\ell_g}; \mathbb{P}_{T(w)} \rangle,$$



$$\mathbb{P} := \Phi_I(\mathbb{P}_{r_1, \dots, r_d}).$$



La base \mathbb{P}

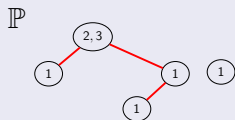
$$\mathbb{P} \begin{array}{c} \textcircled{1} \\ \textcircled{v} \\ \ell_1 \dots \ell_g \end{array} := \mathbb{R}_1,$$

$$\mathbb{P} \begin{array}{c} \textcircled{1} \\ \textcircled{v} \\ \ell_1 \dots \ell_g \end{array} := (\dots(\mathbb{P}_{t_k} \prec \dots) \prec \mathbb{P}_{t_2}) \prec \mathbb{P}_{t_1},$$

$$\mathbb{P} \begin{array}{c} \textcircled{1} \\ \textcircled{v} \\ \ell_1 \dots \ell_g \end{array} := \langle \mathbb{P}_{\ell_1}, \mathbb{P}_{\ell_2}, \dots, \mathbb{P}_{\ell_g}; \mathbb{P}_{T(w)} \rangle,$$

$$\mathbb{P} \begin{array}{c} \textcircled{1} \\ \textcircled{r} \\ r_1 \dots r_d \end{array} := \Phi_I(\mathbb{P}_{r_1}, \dots, \mathbb{P}_{r_d}).$$

Exemple

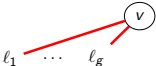


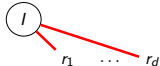
$$\begin{aligned} &= \mathbb{R}_{235541} - \mathbb{R}_{245531} - \mathbb{R}_{244531} - \mathbb{R}_{245431} - \\ &\quad \mathbb{R}_{254431} + \mathbb{R}_{325541} - \mathbb{R}_{425531} - \mathbb{R}_{524431} + \\ &\quad \mathbb{R}_{352541} - \mathbb{R}_{452531} + \mathbb{R}_{355241} - \mathbb{R}_{455231} + \\ &\quad \mathbb{R}_{344521} + \mathbb{R}_{345421} + \mathbb{R}_{354421} + \mathbb{R}_{534421} \end{aligned}$$

La base \mathbb{P}

$$\mathbb{P}_{\textcircled{1}} := \mathbb{R}_1,$$

$$\mathbb{P}_{t_1, \dots, t_k} := (\dots (\mathbb{P}_{t_k} \prec \dots) \prec \mathbb{P}_{t_2}) \prec \mathbb{P}_{t_1},$$

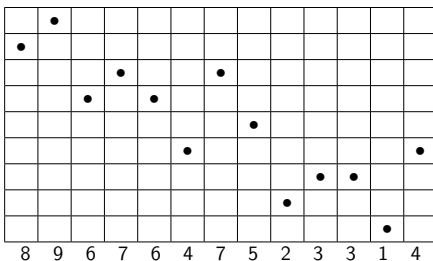
$$\mathbb{P} := \langle \mathbb{P}_{\ell_1}, \mathbb{P}_{\ell_2}, \dots, \mathbb{P}_{\ell_g}; \mathbb{P}_{T(w)} \rangle,$$


$$\mathbb{P} := \Phi_I(\mathbb{P}_{r_1, \dots, r_d}).$$


Théorème [M.]

- $(\mathbb{P}_f)_{f \in \mathfrak{F}_{R_n}}$ est une base de \mathbf{WQSym}_n^* ,
- $(\mathbb{P}_t)_{t \in \mathfrak{T}_{R_n}}$ est une base de Prim_n^* ,
- $(\mathbb{P}_t)_{t \in \mathfrak{M}_{R_n}}$ est une base de TPrim_n^* .

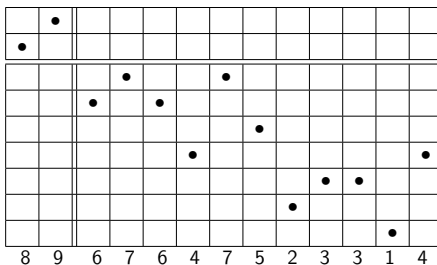
Squelette bleu de 8967647523314

 $F_{\text{Bske}}(8967647523314)$ 

Squelette bleu de 8967647523314

 $F_{\text{Bske}}(8967647523314)$

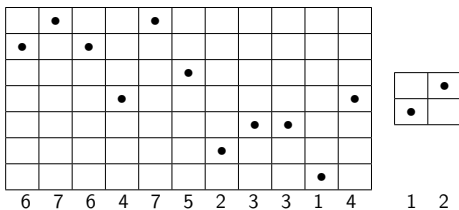
Factorisation en descentes globales



Squelette bleu de 8967647523314

$$F_{\text{Bske}}(8967647523314) = \\ T_{\text{Bske}}(67647523314) T_{\text{Bske}}(12)$$

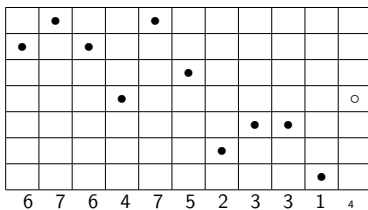
Factorisation en descentes globales
+ tassement + échange



Squelette bleu de 8967647523314

$$F_{\text{Bske}}(8967647523314) = \\ T_{\text{Bske}}(67647523314) T_{\text{Bske}}(12)$$

Retrait de la dernière lettre

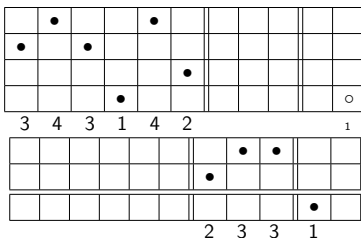


Squelette bleu de 8967647523314

$$F_{\text{Bske}}(8967647523314) =$$

$$T_{\text{Bske}}(67647523314) T_{\text{Bske}}(12)$$

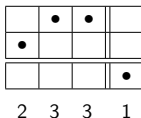
Distinction de deux groupes de facteurs



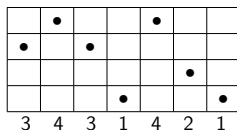
Squelette bleu de 8967647523314

$$F_{\text{Bske}}(8967647523314) = T_{\text{Bske}}(67647523314) T_{\text{Bske}}(12) =$$

$$F_{\text{Bske}}^*(2331) \quad \text{3431421} \quad T_{\text{Bske}}(12)$$



3431421 est
Irréductible bleu

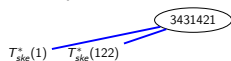


Irréductible bleu

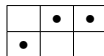
Un mot tassé w est **bleu irréductible** si il n'est pas décomposable par cet algorithme.

Squelette bleu de 8967647523314

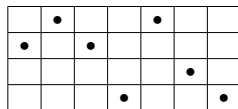
 $F_{\text{Bske}}(8967647523314) =$ On boucle

 $T_{\text{Bske}}(67647523314) T_{\text{Bske}}(12) =$

 $T_{\text{Bske}}(12)$


1



1 2 2



3 4 3 1 4 2 1

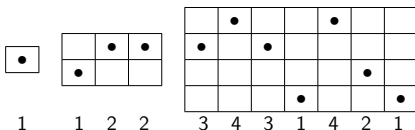
Irréductible bleu

Un mot tassé w est **bleu irréductible** si il n'est pas décomposable par cet algorithme.

Squelette bleu de 8967647523314

$$F_{\text{Bske}}(8967647523314) =$$

$$((1/122) \blacktriangle 3431421) / (1 \blacktriangle 1)$$

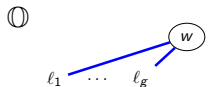


Irréductible bleu

Un mot tassé w est **bleu irréductible** si il n'est pas décomposable par cet algorithme.

$$\forall n, \text{BleuIrréductible}_n = \text{RougeIrréductible}_n = \text{TPrim}_n.$$

Le début de la base \mathbb{O}

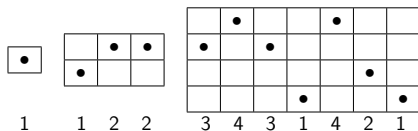
$$\begin{aligned} \mathbb{O}_{\textcircled{1}} &:= \mathbb{Q}_1, \\ \mathbb{O}_{t_1, \dots, t_k} &:= (\dots (\mathbb{O}_{t_k} \prec \dots) \prec \mathbb{O}_{t_2}) \prec \mathbb{O}_{t_1}, \\ \mathbb{O}_{\ell_1, \dots, \ell_g; w} &:= \langle \mathbb{O}_{\ell_1}, \mathbb{O}_{\ell_2}, \dots, \mathbb{O}_{\ell_g}; \mathbb{O}_{T^*(w)} \rangle. \end{aligned}$$


Forêt bleu de 8967647523314

$$F_B(8967647523314) =$$



La partie droite!

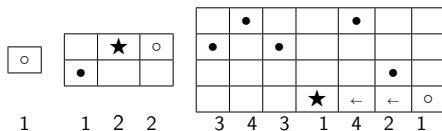


Forêt bleu de 8967647523314

$$F_B(8967647523314) =$$

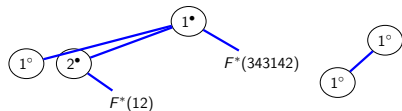


La dernière lettre est-elle présente dans le reste du mot ?

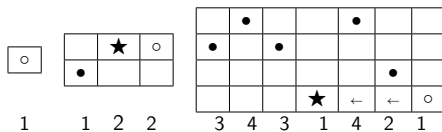


Forêt bleu de 8967647523314

$$F_B(8967647523314) =$$

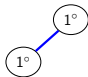
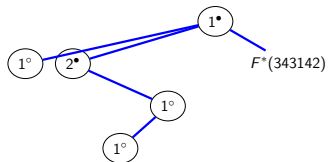


Fils droits



Forêt bleu de 8967647523314

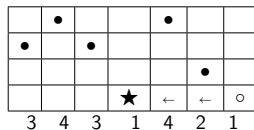
$$F_B(8967647523314) =$$



1

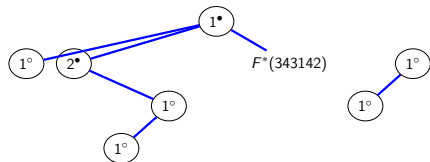


1 2 2



Forêt bleu de 8967647523314

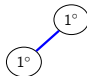
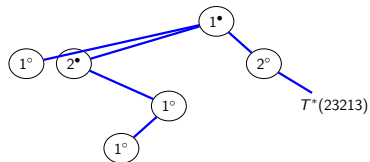
$$F_B(8967647523314) =$$



	•			•	
•		•			
					•
			•		
3	4	3	1	4	2

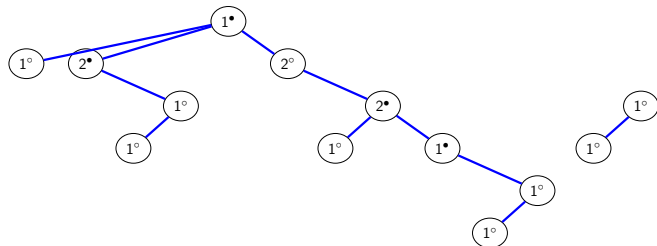
Forêt bleu de 8967647523314

$$F_B(8967647523314) =$$



	•			•	
•		•			
×	←	←	←	←	○
			•		
3	4	3	1	4	2

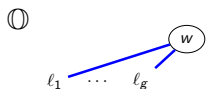
Forêt bleu de 8967647523314

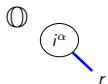
$$F_B(8967647523314) =$$


La base \mathbb{O}

$$\mathbb{O}_{\textcircled{1}} := \mathbb{Q}_1,$$

$$\mathbb{O}_{t_1, \dots, t_k} := (\dots (\mathbb{O}_{t_k} \prec \dots) \prec \mathbb{O}_{t_2}) \prec \mathbb{O}_{t_1},$$

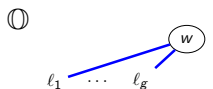
$$\mathbb{O}_{\ell_1, \ell_2, \dots, \ell_g; \mathbb{O}_{T^*(w)}} := \langle \mathbb{O}_{\ell_1}, \mathbb{O}_{\ell_2}, \dots, \mathbb{O}_{\ell_g}; \mathbb{O}_{T^*(w)} \rangle,$$


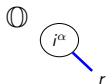
$$\mathbb{O}_{i^\alpha} := \Psi_i^\alpha(\mathbb{O}_r).$$


La base \mathbb{O}

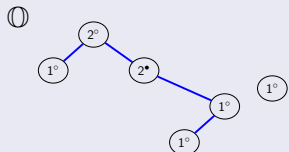
$$\mathbb{O}_{(1)} := Q_1,$$

$$\mathbb{O}_{t_1, \dots, t_k} := (\dots (\mathbb{O}_{t_k} \prec \dots) \prec \mathbb{O}_{t_2}) \prec \mathbb{O}_{t_1},$$

$$\mathbb{O}_{\langle \mathbb{O}_{l_1}, \mathbb{O}_{l_2}, \dots, \mathbb{O}_{l_g}; \mathbb{O}_{T^*(w)} \rangle},$$


$$\mathbb{O}_{i^\alpha} := \Psi_i^\alpha(\mathbb{O}_r).$$


Exemple



$$= Q_{531442} + Q_{521443} + Q_{512443} -$$

$$Q_{534142} - Q_{524143} - Q_{514243} -$$

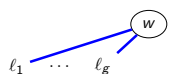
$$Q_{514432} - Q_{524431} - Q_{514423} +$$

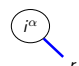
$$Q_{541432} + Q_{542431} + Q_{541423}$$

La base \mathbb{O}

$$\mathbb{O}_{\textcircled{1}} := \mathbb{Q}_1,$$

$$\mathbb{O}_{\textcircled{t_1, \dots, t_k}} := (\dots (\mathbb{O}_{t_k} \prec \dots) \prec \mathbb{O}_{t_2}) \prec \mathbb{O}_{t_1},$$

$$\mathbb{O}_{\textcircled{w}} := \langle \mathbb{O}_{\ell_1}, \mathbb{O}_{\ell_2}, \dots, \mathbb{O}_{\ell_g}; \mathbb{O}_{T^*(w)} \rangle,$$


$$\mathbb{O}_{\textcircled{i^\alpha}} := \Psi_i^\alpha(\mathbb{O}_r).$$


Théorème [M.]

- $(\mathbb{O}_f)_{f \in \mathfrak{F}_{B_n}}$ est une base de \mathbf{WQSym}_n ,
- $(\mathbb{O}_t)_{t \in \mathfrak{T}_{B_n}}$ est une base de Prim_n ,
- $(\mathbb{O}_t)_{t \in \mathfrak{N}_{B_n}}$ est une base de TPrim_n .

Théorèmes [M.]

Théorème [M.]

- $(\mathbb{O}_f)_{f \in \mathfrak{F}_{B_n}}$ base de \mathbf{WQSym}_n ,
- $(\mathbb{O}_t)_{t \in \mathfrak{T}_{B_n}}$ base de \mathbf{Prim}_n ,
- $(\mathbb{O}_t)_{t \in \mathfrak{N}_{B_n}}$ base de \mathbf{TPrim}_n .

Théorème [M.]

- $(\mathbb{P}_f)_{f \in \mathfrak{F}_{R_n}}$ base de \mathbf{WQSym}_n^* ,
- $(\mathbb{P}_t)_{t \in \mathfrak{T}_{R_n}}$ base de \mathbf{Prim}_n^* ,
- $(\mathbb{P}_t)_{t \in \mathfrak{N}_{R_n}}$ base de \mathbf{TPrim}_n^* .

Rigidité

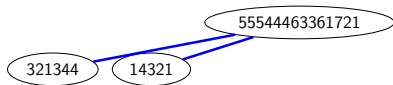


\forall bijection entre les mots
irréductibles bleus et rouges,
recoloration des squelettes

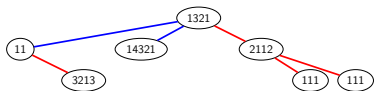


Forêts bicolores à travers un exemple

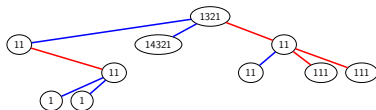
$$T_{\text{Bske}}(DDDCCEBBE9FA587653213449) =$$



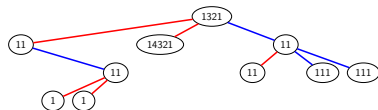
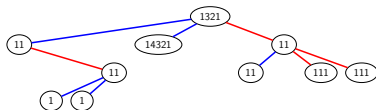
Forêts bicolores à travers un exemple

 $T_{BR}(DDDCCEBBE9FA587653213449)$


Forêts bicolores à travers un exemple

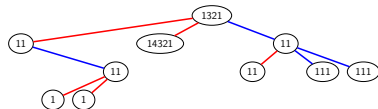
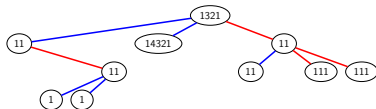
$$T_{BR}(DDDCCEBBE9FA587653213449) =$$


Forêts bicolores à travers un exemple

$$T_{BR}(DDDCCCEBBE9FA587653213449) =$$


Forêts bicolores à travers un exemple

$$T_{BR}(DDDCCEBBE9FA587653213449) = T_{RB}(DCBDDE7A9875F633422211145) =$$



Théorèmes [M.]

Théorème [M.]

- $(\mathbb{O}_f)_{f \in \mathfrak{F}_{B_n}}$ base de \mathbf{WQSym}_n ,
- $(\mathbb{O}_t)_{t \in \mathfrak{T}_{B_n}}$ base de Prim_n ,
- $(\mathbb{O}_t)_{t \in \mathfrak{N}_{B_n}}$ base de TPrim_n .

Théorème [M.]

- $(\mathbb{P}_f)_{f \in \mathfrak{F}_{R_n}}$ base de \mathbf{WQSym}_n^* ,
- $(\mathbb{P}_t)_{t \in \mathfrak{T}_{R_n}}$ base de Prim_n^* ,
- $(\mathbb{P}_t)_{t \in \mathfrak{N}_{R_n}}$ base de TPrim_n^* .

Bijection [M.]

Involution grâce aux forêts bicolores.

Isomorphisme bidendriforme entre \mathbf{WQSym} et \mathbf{WQSym}^* .